

بررسی جهش‌های ژن کانکسین ۲۶ و سه حذف بزرگ ژن کانکسین ۳۰ در ۶۳ خانواده ایرانی مبتلا به ناشنوایی غیرنشانگانی با توارث اتوزومی مغلوب

عاطفه شیرکوند^۱، نجات مهدیه^{۲*}، حمیده باقریان^۳، مریم شرفی فرزاد^۴، رقیه وحیدی^۵، سوده کیانفر^۶، سحر قهرمانی^۷، موبیم عاشری^۸، مرضیه ریسی^۹، زهرا زینلی^{۱۰}، زهرا ظفری^{۱۱}، اکرم فاسمی^{۱۲}، سیروس زینلی^{۱۳}*

- ۱- دانشجوی کارشناسی ارشد، گروه زیست‌شناسی، دانشکده علوم، دانشگاه ازادی، کرمانشاه، ایران
- ۲- دانشجوی دکتری تخصصی، گروه ژنتیک پزشکی، دانشکده پزشکی، دانشگاه علوم پزشکی ایلام، ایلام، ایران
- ۳- دانشجوی دکتری تخصصی، آزمایشگاه ژنتیک پزشکی دکتر زینلی، مرکز تحقیقات ژنتیک انسانی کوثر، تهران، ایران
- ۴- پزشک عمومی و مشاور ژنتیک، آزمایشگاه ژنتیک پزشکی، مرکز تحقیقات ژنتیک انسانی کوثر، تهران، ایران
- ۵- کارشناس، آزمایشگاه ژنتیک پزشکی دکتر زینلی، مرکز تحقیقات ژنتیک انسانی کوثر، تهران، ایران
- ۶- دانشجوی پزشکی، دانشکده پزشکی، دانشگاه علوم پزشکی ایران، تهران، ایران
- ۷- دانشجوی کارشناسی ارشد، گروه زیست‌شناسی، دانشگاه خاتم، تهران، ایران
- ۸- دانشجوی کارشناسی ارشد، گروه میکروبیولوژی، دانشگاه آزاد اسلامی واحد جهرم، فارس، ایران
- ۹- دانشیار، بخش تحقیقات بیوتکنولوژی، انتیتو پاستور ایران، تهران، ایران
- ۱۰- دانشیار، آزمایشگاه ژنتیک پزشکی دکتر زینلی، مرکز تحقیقات ژنتیک انسانی کوثر، تهران، ایران

دریافت مقاله: ۸۸/۱۱/۲۱
پذیرش مقاله: ۸۹/۰۴/۰۷

چکیده

هدف: ناشنوایی شایع‌ترین نقص حسی عصبی در انسان است. جهش در دو ژن GJB2 و GJB6. عامل ۵۰ درصد موارد ناشنوایی غیرنشانگانی اتوزوم مغلوب (ARNSHL) است. در این مطالعه فراوانی جهش‌های دو ژن GJB2 و GJB6 و سه حذف بزرگ (GJB6-D13S1830). Del(GJB6-D13S1854) و Del(GJB6-D13S1854) >۹۰ کیلو باز در ژن GJB6 در ناشنوایان غیرنشانگانی اتوزوم مغلوب مراجعه کننده به مرکز ژنتیک انسانی کوثر بررسی شد.

مواد و روش‌ها: در این تحقیق ۹۴ بیمار از ۶۳ خانواده با ناشنوایی غیرنشانگانی اتوزوم مغلوب بررسی شدند. برای تشخیص جهش شایع ARMS-PCR ۳.5delG استفاده شد. بیمارانی که برای جهش 35delG مثبت بودند کنار گذاشته شدند و بقیه افراد با استفاده از روش تعیین توالی ژن GJB2 و GJB6 بررسی شدند. همچنین سه حذف بزرگ ژن GJB6 با استفاده از روش Real-Time PCR بررسی شد.

نتایج: در این مطالعه در ۱۳ خانواده (از ۶۳ خانواده)، جهش در ژن کانکسین ۲۶ (۲۰/۶ درصد) مشاهده شد. در جمیعت مورد مطالعه، شایع‌ترین جهش 35delG بود (۱۵/۶ درصد). جهش‌های دیگر ژن GJB2 عبارت بود از: delE120, R127H, W24X, V37I, R127H, delE120. افراد هتروزیگوت جهش ژن GJB2 یا افراد فاقد جهش در این ژن برای جهش ژن GJB6 با روش تعیین توالی بررسی شدند و هیچ جهشی دیده نشد. سه حذف بزرگ در ژن GJB6 نیز بررسی شد و هیچ حذفی مشاهده نشد.

*نشانی مکاتبه: تهران، خیابان ولی عصر، خیابان مجلسی، پلاک ۴۱، مرکز ژنتیک انسانی کوثر، کد پستی: ۱۵۹۵۶۴۵۰۱۳

Email: Zeinali@kawsar.ir

** نشانی مکاتبه: تهران، انتیتو پاستور ایران، بخش تحقیقات بیوتکنولوژی، کد پستی: ۱۳۱۶۹۴۳۵۵۱

Email: Zeinali@pasteur.ac.ir

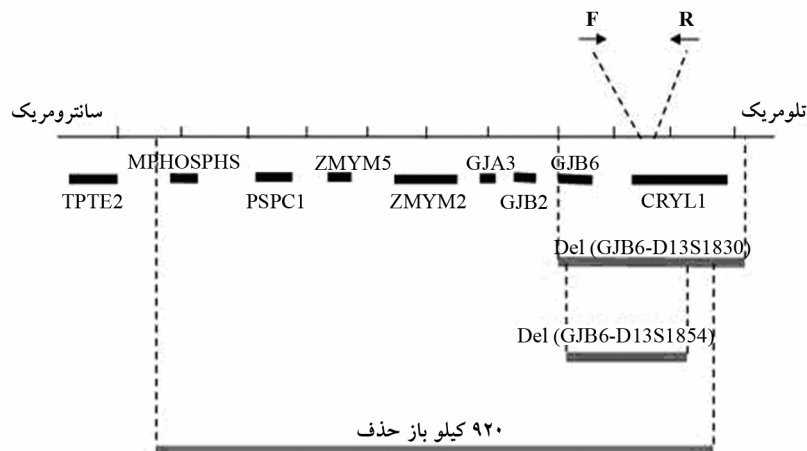
نتیجه‌گیری: فراوانی پایین جهش ژن GJB2 در این جمعیت احتمالاً گویای این واقعیت است که ژن‌های دیگری در بروز ناشنوایی غیرنشانگانی در کشورمان نقش دارد.

کلیدواژگان: ناشنوایی غیرنشانگانی، GJB2، جمعیت، PCR

۱ - مقدمه

(Gap Junction) است که مسئول ایجاد اتصالات باز بین سلولی است و اجازه انتقال یون پتاسیم و مولکول‌های کوچک را می‌دهد [۶]. تاکنون بیش از ۱۰۰ جهش مختلف در ژن کانکسین ۲۶ گزارش شده و این جهش‌ها در قومیت‌های مختلف شیوع متفاتی دارد [۷]. به عنوان مثال جهش ۳۵delG در جمعیت‌های فرقه‌ای [۸]، ۱۶۷delT در یهودیان اشکنازی [۹]، ۲۳۵delC در جمعیت‌های آسیای شرقی [۱۰] و R143W در جمعیت آفریقا [۱۴]، به عنوان شایع‌ترین جهش‌های GJB2 گزارش شده است. در ژن کانکسین ۲۶، شش باز گوانین در موقعیت ۳۰-۳۵ ناحیه کد کننده وجود دارد که حذف یکی از این نوکلئوتیدها منجر به جهش ۳۵delG می‌شود. جهش ۳۵delG خاتمه زودرس در اسیدآمینه شماره ۱۳ می‌شود [۱۵]. در ژن GJB6 سه حذف بزرگ [Del(GJB6-D13S1854)] گزارش شده که به صورت هموزیگوت یا هتروزیگوت مرکب با ژن GJB2 باعث بروز ناشنوایی می‌شود (شکل ۱). جهش Del(GJB6-D13S1854) شامل حذف یک قطعه ۹۲۰ کیلوبازی [Del(GJB6-D13S1830)] و حذف ۲۳۲ کیلوبازی [Del(GJB6-D13S1854)] از ناحیه تلومری ژن GJB6 و جهش Del(GJB6-D13S1854) شامل حذف یک قطعه ۲۳۲ کیلوبازی است و در حذف ۹۲۰ کیلوبازی، هشت ژن که شامل GJB6، GJA3، GJB6، CRYL1، MPHOSPH8، PSPC1، ZMYM5، ZMYM2 است، حذف می‌شود [۱۶]. در هر سه نوع حذف گزارش شده، قطعه‌ای از ناحیه تلومری ژن GJB6 حذف می‌شود که در این مطالعه برای تکثیر این قطعه آغازگر (Primer) طراحی شد و با استفاده از روش Real Time-PCR مقدار کمی آن بررسی شد.

ناشنوایی، شایع‌ترین نقص حسی عصبی در انسان بوده که فراوانی آن حدود ۱ در ۱۰۰۰ نوزاد است [۱]. عوامل مسبب این اختلال به صورت ناهمگن (Heterogenous) هستند که نیمی از موارد آن به صورت ژنتیکی و بقیه غیرژنتیکی است. موارد ژنتیکی می‌تواند به صورت اتوزوم بارز (DFNA)، اتوزوم نهفته (DFNB)، واپسیه به جنس نهفته (DFNX) یا جهش در ژن‌های میتوکندری به ارث برسد؛ براساس مطالعات، حدود ۸۰ درصد موارد به صورت اتوزوم نهفته، ۱۰ درصد اتوزوم بارز و ۵ درصد به صورت واپسیه به جنس نهفته است. در دسته‌بندی دیگری، ناشنوایی را به دو صورت نشانگانی (Syndromic) و غیرنشانگانی تعریف می‌کنند. اگر علاوه بر ناشنوایی علامت یا نشانه دیگری در فرد ناشنوا دیده شود، در گروه نشانگانی و در صورتی که ناشنوایی تنها عارضه فرد مبتلا باشد، در گروه ناشنوایی‌های غیرنشانگانی قرار می‌گیرد [۲]. ناشنوایی‌های غیرنشانگانی با توارث اتوزومی مغلوب (Autosomal Recessive Non-Syndromic Hearing Loss: ARNSHL) شایع‌ترین شکل ناشنوایی است (۷۰ درصد موارد). تاکنون حداقل ۴۶ ژن مسبب ناشنوایی گزارش شده است [۳]. علاوه بر جهش‌های ژن GJB2 یا کانکسین GJB6 (Connexin 26)، حذف‌های بزرگ در ژن ۱۳q (Cx30) واقع در لوکوس ۱۳q می‌شده اند [۴]. ژن کانکسین ۲۶، روی کروموزوم ۱۳q نیز گزارش شده است [۴]. ژن کانکسین ۲۶ واجد دو اگزون است که فقط یکی از این دو اگزون (اگزون ۲) کدهای لازم برای سنتز پروتئین را دارد [۵]. پروتئین‌های حاصل از این دو ژن (کانکسین ۲۶ و کانکسین ۳۰)، از خانواده بزرگ کانال‌های ایجاد کننده اتصالات شکافی



شکل ۱ در این شکل حذف های بزرگ در لوکوس 3q11 نشان داده شده است. همچنین محل آغازگرهای طراحی شده در روش Real Time با فلش مشخص شده است. F: آغازگر جلویی (Forward). R: آغازگر برگشتی (Reverse)

اوڈیوگرام (Audiogram) بیمار، ضمیمه شد. ۹۴ بیمار از ۶۳ خانواده در این تحقیق شرکت کردند. اکثر این افراد برای تشخیص جهش ژنی به منظور تصمیم در ازدواج دو فرد مبتلا یا ازدواج فامیلی مراجعه کرده بودند. خانواده‌ها از مناطق مختلف کشور بودند. در هیچ مورد والدین مشکل شنوایی واضح نداشتند.

پس از گرفتن رضایت‌نامه آگاهانه از خانواده‌ها، ۱۰ سی سی خون از افراد بیمار گرفته شد و به منظور جلوگیری از لخته شدن، در لوله‌های حاوی EDTA (Ethylenediaminetetraacetic acid) نگهداری شد. بیماران با استفاده از روش استاندارد نمک اشبع (Salting Out)، استخراج شد [۱۸]. برای تشخیص جهش شایع ۳۵delG از روش واکنش زنجیره‌ای پلیمراز ویژه یک آلل (Amplification Refractory Mutation system-PCR: ARMS-PCR) استفاده شد. توالی آغازگرهای ARMS-PCR به صورت زیر است:

35delGN: 5'-GCAGACGATCCTGGGGGTG-3'
35delGM: 5'-GCAGACGATCCTGGGGGTG-3'
5'-GACACAAAGCAGTCCACAGTGGT-3': مشترک

هدف از این مطالعه، بررسی جهش‌های ژن 2 GJB و سه حذف بزرگ ژن 6 GJB در ناشنوایان مراجعه کننده به مرکز تحقیقات ژنتیک انسانی کوثر و تعیین فراوانی جهش در دو ژن GJB2 و GJB6 در آن‌ها بود.

۲- مواد و روش‌ها

معیارهای انتخاب بیماران در این مطالعه عبارت بود از: ۱) نشانه‌های ناشنوای غیرنشانگانی با توارث اتوزوم مغلوب در مبتلایان؛ ۲) مجزا کردن موارد ناشنوای با عمل محیطی از طریق بررسی پرونده پزشکی بیماران و پرسش دقیق در مورد عوامل ممکن از قبیل ناشنوای‌های ناشی از عفونت گوش داخلی، منثیت و صدمات فیزیکی؛ ۳) تأیید ناشنوای با استفاده از آزمایش‌های شنوایی سنجی (Audiology). همچنین یکی از معیارهای انتخاب و جداسازی موارد ارثی از تک‌گیر، وجود حداقل دو بیمار در خانواده در موارد ارثی بود. ابتدا با استفاده از پرسش‌نامه‌هایی که برای این کار تهیه شده بود، اطلاعات مورد نیاز جمع‌آوری شد. سپس شجره خانوادگی ترسیم و الگوی وراثتی بیماری مشخص و مدارک شنوایی سنجی و

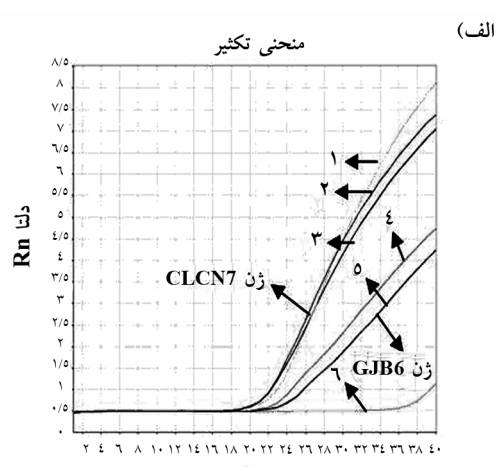
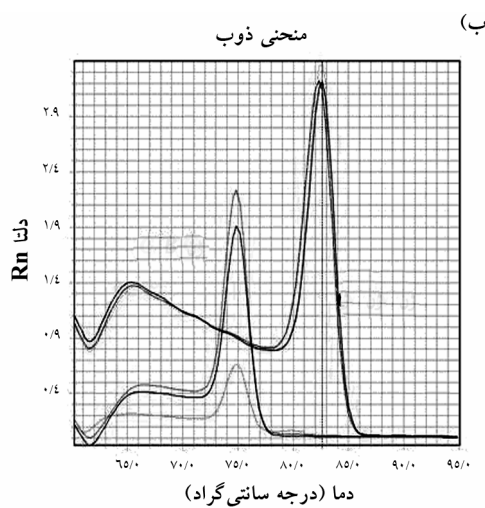
طراحی و در پاگاه اینترنتی (National Center for NCBI Biotechnology Information) (Blast) چک شد.

جدول ۱ توالی آغازگرهای ژن GJB2 و GJB6 برای تعیین توالی

| نام آغازگر | توالی آغازگر |
|------------|-------------------------------|
| Cx26F | 5' AAGTCTCCCTGTTCTGTCCCTAG 3' |
| Cx26R | 5' CCTCATCCTCTCATGTC 3' |
| Cx30F | 5' GTCTGTAATATCACCGTGTAC 3' |
| Cx30R | 5' CTCTTCAGGCTACAGAAGGAAC 3' |

برای غربالگری حذف‌های بزرگ ژن GJB6، از روش Real-Time PCR استفاده شد، در این مطالعه شش بیمار هتروزیگوت برای جهش ژن GJB2 شرکت کردند. در این روش ژن CLCN7 به عنوان ژن کنترل انتخاب شد و توالی آغازگرهای آن عبارت بود از:

F: 5'-CTCTTAGGCCAGGCGTTGTG-3'
R: 5'-ACCGTGCTCAGCGCTATGC-3'



نمودار ۱ (الف) منحنی تکثیر زن کنترل (CLCN7) و زن هدف (GJB6) در دو نمونه طبیعی و مورد بررسی با روش Real Time PCR. منحنی تکثیر زن CLCN7 در فرد طبیعی و دو فرد بیمار هتروزیگوت (به ترتیب با شماره‌های ۱ و ۲ و ۳ مشخص شده‌اند) که همگی دارای چرخه‌های آستانه‌ای (C₁) برایش هستند. همچنین منحنی تکثیر زن GJB6 در فرد طبیعی و دو فرد بیمار هتروزیگوت و هموژیگوت (به ترتیب با شماره‌های ۴ و ۵ و ۶) که دارای C₁ مقاومت هستند، در نمودار نشان داده شده است. **(ب)** منحنی ذوب محصول تکثیر زن CLCN7 و GJB6: نمودار نشان می‌دهد که محصول غیر اختصاصی در واکنش وجود نداشته است.

فأقاد DNA الگو، کتّل هموزیگوت، کتّل هتروزیگوت،

از هر کدام از نمونه ها شاما، ذن کنتا و نمونه کنتا

بود از: R127H, delE120, W24X, V37I. انواع ژنوتیپ‌های یافت شده در این بیماران در جدول ۲ آمده است. در جمعیت مورد مطالعه، در ۶ خانواده از ۱۳ خانواده دارای جهش در ژن کانکسین ۲۶ (۴/۱۵ درصد)، افراد بیمار برای جهش 35delG هموژیگوت بودند و در دو خانواده، جهش 35delG به صورت هتروژیگوت مشاهده شد. فراوانی آل‌های جهش یافته ژن کانکسین ۲۶، برابر با ۱۵/۸ بود (جدول ۳).

جدول ۲ ژنوتیپ‌های مشاهده شده در خانواده‌های مورد بررسی

| تعداد خانواده | ژنوتیپ |
|---------------|-----------------|
| ۶ | 35delG/ 35delG |
| ۲ | 35delG/Wt |
| ۱ | delE120/delE120 |
| ۲ | Wt R127H/ |
| ۱ | Wt W24X/ |
| ۱ | V37I/ Wt |
| ۱۲ | Total |

جدول ۳ فراوانی آلی جهش‌های ژن GJB2

| نوع جهش | تعداد آل | فراوانی بر حسب درصد |
|---------|----------|---------------------|
| 35delG | ۱۴ | ۷۰ |
| delE120 | ۲ | ۱۰ |
| V37I | ۱ | ۵ |
| W24X | ۱ | ۵ |
| R127H | ۲ | ۱۰ |
| Total | ۲۰ | ۱۰۰ |

در این مطالعه، به منظور غربالگری جهش‌های ژن GJB6 از روش تعیین توالی و برای مشاهده حذف‌های احتمالی از روش Real-Time PCR استفاده شد. ژن GJB6 فقط برای افرادی که یکی از جهش‌های آن‌ها، جهش در ژن کانکسین ۲۶ بود بررسی شد. در این روش، مقدار کمی ژن GJB6 توسط تکثیر ناحیه تلومری این ژن که در تمام حذف‌های گزارش شده حذف می‌شود، اندازه‌گیری شد. در این روش به دلیل این‌که رنگ SYBR Green به هر نوع DNA دو رشتهدی مثل

کترول طبیعی و نمونه مورد آزمایش، سه واکنش جداگانه انجام گرفت. منحنی تکثیر و ذوب رسم شده توسط دستگاه در نمودار ۱ نشان داده شده است. ۲۰ میکرولیتر از محلول واکنش (Fast SYBR Green Kit, Fast SYBR Green Master, Applied Biosystems, US) رو به جلو و معکوس به غلظت ۰/۲ میکرومولار برای واکنش استفاده شد. حجم نهایی واکنش نیز ۲۰ میکرولیتر بود.

در این روش قطعه ۲۰۰ جفت نوکلئوتیدی در انتهای تلومری ژن GJB6 که در هر سه نوع حذف مشترک است، بررسی وجود و عدم وجود آن بررسی شد. توالی آغازگرهای مورد نیاز برای تکثیر این قطعه عبارت بود از:

5'-AAGACGCTGGTCAGTTCACCTG-3' : جلویی
5'-GATGCATGAAGAGGGCGTACAAG-3' : پرگشته
نمونه‌های DNA به غلظت ۲۵ میکروگرم در میکرولیتر رقیق شد و کمیت و کیفیت DNA استخراج شده توسط اسپکتروفوتومتری نانوراپ 2000 (Nanodrop, Thermo, USA) بررسی شد. طیف جذبی ۲۶۰/۲۸۰ بین ۱/۸ تا ۲ بود. تمام آغازگرهای Real-Time Express نرم‌افزار v.2 براساس طراحی شد. برنامه واکنش Real-Time به صورت زیر بود:
چرخه‌های تکثیر سه مرحله‌ای شامل ۱۰ دقیقه در ۹۵ درجه، ۴۰ ثانیه در ۹۵ درجه، ۳۰ ثانیه در ۶۰ درجه بود. در مرحله نهایی، منحنی ذوب توسط نرم‌افزار دستگاه رسم شد.

۳- نتایج

در این تحقیق، ناشناختی در ۴۵ درصد موارد به علت ازدواج فامیلی بود. به طور کلی ناشناختی وابسته به ژن کانکسین ۲۶ در ۱۳ خانواده از ۶۳ خانواده یافت شد (۲۰/۶ درصد). در این جمعیت شایع‌ترین جهش ژن کانکسین ۲۶، 35delG گزارش شد؛ این جهش در ۸ خانواده از ۱۳ خانواده (۶۱/۵ درصد) با جهش GJB2 مشاهده شد. جهش‌های دیگر ژن کانکسین ۲۶ که توسط روش توالی‌یابی به دست آمد عبارت

جهنشکلی V153I (Polymorphism) گزارش شد. جهش V37I جزء جهش‌های نادر بوده که تاکنون در ایران گزارش نشده بود.

در خانواده‌های هتروزیگوت (۴۶/۱) درصد) که تنها یک جهش ژن GJB2 داشتند، در ادامه جهش‌های نقطه‌ای و حذفی کانکسین ۳۰ نیز بررسی شد و هیچ جهش نقطه‌ای یا حذفی پیدا نشد. این نتیجه یا به دلیل این است که در این خانواده‌ها یک جهش حذفی غیر از جهش‌های گزارش شده در ژن کانکسین ۳۰، وجود دارد یا این که جهش در منطقه تنظیمی از ژن GJB2 است که مورد بررسی قرار نگرفته است یا جهش در ژن‌های دیگر عامل ناشنوایی است. به طور کلی شیوع جهش‌های ژن کانکسین ۲۶ در جمعیت ایران بسیار کمتر از جمعیت‌های غربی گزارش شده است و از آنجا که جمعیت ایران از قومیت‌های مختلف تشکیل شده و شیوع این جهش‌ها در قومیت‌های مختلف، با یکدیگر متفاوت است، اقوام مختلف به صورت جدا بررسی شدند [۲۳-۳۱].

در مطالعه‌ای که توسط دکتر نجم‌آبادی و همکاران انجام شد [۲۲]، فراوانی جهش ژن GJB2 در ۸ ناحیه از کشور بررسی شد و فراوانی جهش این ژن در جمعیت‌های شمال (گیلان و مازندران و گلستان) و شمال غرب کشور بیشتر از سایر نقاط کشور بود، میزان این فراوانی در شمال ۳۸ درصد و در شمال غرب ۲۲ درصد بود. در یک مطالعه که در ترکیه انجام گرفت، فراوانی جهش GJB2 حدود ۲۵ درصد بود [۳۲] که میزان این فراوانی تقریباً مشابه جمعیت شمال غرب ایران است. همچنین مشخص شده که فراوانی این جهش در جنوب شرق ایران ۹ درصد است و در جمعیت‌های پاکستانی همسایه ایران نیز این فراوانی برابر ۶/۱ درصد است [۳۳]. در این مطالعه میانگین جهش ژن GJB2 در ایران ۱۶/۷ درصد گزارش شد. همچنین فراوانی جهش 35delG نیز در جمعیت‌های شمالی کشور بیشتر از سایر نقاط دیده شد (۳۴ درصد).

براساس مطالعات گذشته در جمعیت ایران که توسط محققین دیگر گزارش شده‌اند، شیوع جهش‌های ژن GJB2 در

آغازگر دایمر متصل می‌شود، با رسم منحنی ذوب توسط دستگاه وجود محصولات غیراختصاصی ثابت می‌شود. برای تفسیر نتایج به دست آمده از Real-Time PCR، از روش $\Delta\Delta CT$ استفاده شد که یک روش نسبی برای اندازه‌گیری CT تعداد کپی یک ژن است. براساس این روش، اگر مقدار میانگین یک نمونه کوچک‌تر از $0/6$ باشد نشان‌دهنده این است که فرد برای این نوع حذف‌ها هتروزیگوت است. در نمونه کترول هموزیگوت، ژن GJB6 تکثیر نمی‌شود. در این مطالعه، روش تعیین توالی و Real-Time PCR هیچ‌گونه حذف یا جهش نقطه‌ای را در ژن GJB6 نشان نداد.

۴- بحث

عوامل متعددی در ایجاد ناشنوایی‌ها دخالت دارند. بر پایه مطالعات متعدد در جمعیت‌های اروپایی و آمریکایی جهش در ژنی به نام GJB2 که پروتئین کانکسین ۲۶ را کد می‌کند عامل اصلی بروز ناشنوایی‌های اتوزوم مغلوب غیرنشانگانی در جمعیت سفید پوست اروپایی است. جهش‌های این ژن در جمعیت‌های مختلف شیوع متفاوتی دارد. جهش 35delG در بیشتر جمعیت‌های جهان با فراوانی‌های مختلف دیده می‌شود. این جهش در جمعیت‌های اروپایی و آمریکایی به عنوان شایع‌ترین جهش شناسایی شده است [۱۹-۲۱]. در این مطالعه ۷ خانواده از ۶۳ خانواده مورد بررسی دارای جهش ژن GJB2 در دو آلل خود بودند (۱۱/۱ درصد). همچنین از ۱۳ خانواده‌ای که دارای جهش ژن کانکسین ۲۶ بودند، در ۶ خانواده فقط یکی از آلل‌های این ژن، دچار جهش شده بود (۴۶ درصد). فراوانی جهش 35delG در بین سایر جهش‌ها برابر ۷۰ درصد بود.

جهش delE120 که در مطالعه دکتر نجم‌آبادی و همکاران در غرب و شمال غرب کشور گزارش شده بود [۲۲]، در خانواده‌ای در غرب کشور (استان لرستان) مشاهده شد و فراوانی آن ۱۰ درصد بود. جهش R127H در دو خانواده (۱۰ درصد) و جهش W24X (۵ درصد) و V37I (۵ درصد) هر کدام در یک خانواده مشاهده شد و در دو خانواده

این واقعیت است که ژن‌های دیگری در بروز ناشنوایی غیرنشانگانی در کشور نقش دارد. می‌توان از مطالعه این خانواده‌ها که فاقد جهش‌های GJB2 بودند، برای شناسایی ژن‌های دیگر مسئول در ناشنوایی استفاده کرد. با توجه به این‌که جهش در ژن GJB2 حدوداً ۲۰ درصد موارد را شامل می‌شود، مطالعه برای پیدا کردن ژن‌های درگیر دیگر می‌بایست ادامه یابد تا مشاورین ژنتیک بهتر بتوانند خانواده‌ها را راهنمایی کنند.

لازم به ذکر است که در میان افرادی که برای ژن GJB2 هموژیگوت بودند، تفاوت در شدت بیماری دیده شد. همچنین بین افراد هتروژیگوت (با یک جهش در ژن فوق و ژن دیگر روی جایگاه نامشخص در این مطالعه) و نیز بین افراد هتروژیگوت مرکب تفاوت فنوتیپی دیده شد که دور از انتظار نبود.

با توجه به نتایج بدست آمده نمونه‌های فاقد جهش در دو ژن مزبور یا هتروژیگوت برای یک جهش می‌بایست دقیق‌تر بررسی شود تا ژن‌های دیگر عامل ناشنوایی ارثی غیرنشانگانی در کشور مشخص شود. چنین مطالعه‌ای به صورت مقدماتی در مرکز در جریان است.

۵- تشکر و قدردانی

در پایان از خانواده‌های محترم بیماران شرکت کننده در این طرح و عزیزانی که در مرکز تحقیقات ژنتیک انسانی کوثر و آزمایشگاه ژنتیک پزشکی دکتر زینلی زحمت کشیدند از جمله خانم‌ها پاتنی فولادی، صدیقه امینی، فائزه رحیمی‌نژاد، تشکر می‌کنیم.

قومیت‌های مختلف کشور متفاوت است [۲۳-۳۱]: به عنوان مثال، طبق مطالعه‌ای که در استان کرمانشاه انجام گرفته [۲۲]، جهش‌های GJB2 عامل ۲۲ درصد از ناشنوایی‌های اتوزوم مغلوب غیرنشانگانی، گزارش شده و جهش 35delG به عنوان شایع‌ترین جهش ژن کانکسین ۲۶ معروفی شد (۵/۶۲ درصد). اما در مطالعه‌ای که در جمعیت سیستان و بلوچستان انجام شد [۲۴]، جهش‌های GJB2 عامل ۱۳/۳ درصد از ناشنوایی‌های اتوزوم مغلوب غیرنشانگانی بود و شایع‌ترین جهش ژن کانکسین ۲۶، W24X گزارش شد (۸۰/۸۰ درصد) و دو میان جهش شایع در این جمعیت، R127H با فراوانی ۲/۲ درصد بود. جهش ژن کانکسین ۲۶ در جمعیت‌های ترک کشور با فراوانی بیشتری (۲۸ درصد) مشاهده شده است [۲۵].

همچنین در دو مطالعه‌ای که در جمعیت‌های ترک و کرد در کشور صورت گرفته، جهش Δ (GJB6-D13S1830) بررسی شد و در هیچ‌یک از افراد هتروژیگوت برای جهش Δ (GJB6- D13S1830)، جهش GJB2 بررسی شد. در این یافته با یافته بررسی حاضر شباهت دارد. در این مطالعه یک روش جدید برای تشخیص حذف‌هایی که انتهای تلومریک ژن GJB6 را شامل می‌شود، از اینه شده است (Real-Time PCR). در این روش آن بیمار هتروژیگوت GJB2 بررسی شد و هیچ‌یک از این بیماران، حذف‌های گزارش شده در ژن GJB6 را نداشتند؛ بنابراین احتمال این‌که در کشور ما ژن GJB2 با ژن دیگری غیر از GJB6 به صورت هتروژیگوت مرکب بیماری ایجاد کند، وجود دارد.

فراوانی پایین جهش ژن GJB2 در مطالعه حاضر، احتمالاً

۶- منابع

- [1] Hilgert N, Alasti F, Dieltjens N, Pawlik B, Wollnik B, Uyguner O, Delmaghani S, Weil D, Petit C, Danis E, Yang T, Pandelia E, Petersen MB, Goossens D, Favero JD, Sanati MH, Smith RJ, Van Camp G. Mutation analysis of
- [2] Smith RJH, Bale JF, White KR. Sensorineural

- hearing loss in children. *J Lancet* 2005; 365(9462): 879-90.
- [3] Hilgert N, Smith RJ, Van Camp G. Forty-six genes causing nonsyndromic hearing impairment: which ones should be analyzed in DNA diagnostics? *Mutat Res* 2009; 681(2-3): 189-96.
- [4] Feldmann D, Le Maréchal C, Jonard L, Thierry P, Czajka C, Couderc R, Ferec C, Denoyelle F, Marlin S, Fellmann F. A new large deletion in the DFNB1 locus causes nonsyndromic hearing loss. *Eur J Med Genet* 2009; 52(4): 195–200.
- [5] Kiang DT, Jin N, Tu ZJ, Lin HH. Upstream genomic sequence of the human connexin26 gene. *Gene* 1997; 199(1-2): 165-71.
- [6] Harris AL. Emerging issues of connexin channels: biophysics fills the gap. *Q Rev Biophys* 2001; 34(3): 325-472.
- [7] Van Camp G, Smith JR: Hereditary hearing loss home-page. <http://www.uia.ac.be/dnalab/hhh>, 2003.
- [8] Medica I, Rudolf G, Balaban M, Peterlin B. C.35delG/ GJB2 and del(GJB6-D13S1830) mutations in Croatians with prelingual non-syndromic hearing impairment. *BMC Ear Nose Throat Disord* 2005; 5: 11.
- [9] Morell RJ, Kim HJ, Hood LJ, Goforth L, Friderici K, Fisher R, Van Camp G, Berlin CI, Oddoux C, Ostrer H, Keats B, Friedman TB. Mutations in the connexin 26 gene (GJB2) among Ashkenazi Jews with nonsyndromic recessive deafness. *N Engl J Med* 1998; 339(21): 1500-5.
- [10] Abe S, Usami S, Shinkawa H, Kelley PM, Kimberling WJ. Prevalent connexin 26 gene (GJB2) mutations in Japanese. *J Med Genet* 2000; 37(1): 41-3.
- [11] Ohtsuka A, Yuge I, Kimura S, Namba A, Abe S, Van Laer L, Van Camp G, Usami S. GJB2 deafness gene shows a specific spectrum of mutations in Japan, including a frequent founder mutation. *Hum Genet* 2003; 112(4): 329-33.
- [12] Liu Y, Ke X, Qi Y, Li W, Zhu P. Connexin26 gene (GJB2): prevalence of mutations in the Chinese population. *J Hum Genet* 2002; 47(12): 688-90.
- [13] Park HJ, Hahn SH, Chun YM, Park K, Kim HN. Connexin26 mutations associated with nonsyndromic hearing loss. *Laryngoscope* 2000; 110(9): 1535-8.
- [14] Brobby GW, Müller-Myhsok B, Horstmann RD. Connexin 26 R143W mutation associated with recessive nonsyndromic sensorineural deafness in Africa. *N Engl J Med* 1998; 338(8): 548-50.
- [15] Van Laer L, Coucke P, Mueller RF, Caethoven G, Flothmann K, Prasad SD, Chamberlin GP, Houseman M, Taylor GR, Van de Heyning CM, Fransen E, Rowland J, Cucci RA, Smith RJ, Van Camp G. A common founder for the 35delG GJB2 gene mutation in connexin 26 hearing impairment. *J Med Genet* 2001; 38(8): 515-8.
- [16] Lerer I, Sagi M, Ben-Neriah Z, Wang T, Levi H, Abeliovich D. A deletion mutation in GJB6 cooperating with a GJB2 mutation in trans in non-syndromic deafness: A novel founder mutation in Ashkenazi Jews. *Hum Mutat* 2001; 18(5): 460.
- [17] Feldmann D, Le Maréchal C, Jonard L, Thierry

- P, Czajka C, Couderc R, Ferec C, Denoyelle F, Marlin S, Fellmann F. A new large deletion in the DFNB1 locus causes nonsyndromic hearing loss. *Eur J Med Genet* 2009; 52(4): 195-200.
- [18] Miller SA, Dykes DD, Polesky HF. A simple salting out procedure for extracting DNA from human nucleated cells. *Nucleic Acids Res* 1988; 16(3): 1215.
- [19] Green GE, Scott DA, McDonald JM, Woodworth GG, Sheffield VC, Smith RJ. Carrier rates in the midwestern United States for GJB2 mutations causing inherited deafness. *JAMA* 1999; 281(23): 2211-6.
- [20] Zelante L, Gasparini P, Estivill X, Melchionda S, D'Agruma L, Govea N, Milá M, Monica MD, Lutfi J, Shohat M, Mansfield E, Delgross K, Rappaport E, Surrey S, Fortina P. Connexin26 mutations associated with the most common form of non-syndromic neurosensory autosomal recessive deafness (DFNB1) in Mediterraneans. *Hum Mol Genet* 1997; 6(9): 1605-9.
- [21] Estivill X, Fortina P, Surrey S, Rabionet R, Melchionda S, D'Agruma L, Mansfield E, Rappaport E, Govea N, Milá M, Zelante L, Gasparini P. Connexin-26 mutations in sporadic and inherited sensorineural deafness. *Lancet* 1998; 351(9100): 394-8.
- [22] Najmabadi H, Nishimura C, Kahrizi K, Riazalhosseini Y, Malekpour M, Daneshi A, Farhadi M, Mohseni M, Mahdzieh N, Ebrahimi A, Bazazzadegan N, Naghavi A, Avenarius M, Arzhangi S, Smith RJ. GJB2 mutations: passage through Iran. *Am J Med Genet A* 2005; 133A(2): 132-7.
- [23] Mahdzieh N, Nishimura C, Ali-Madadi K, Riazalhosseini Y, Yazdan H, Arzhangi S, Jalalvand K, Ebrahimi A, Kazemi S, Smith RJ, Najmabadi H. The frequency of GJB2 mutations and the Delta (GJB6-D13S1830) deletion as a cause of autosomal recessive non-syndromic deafness in the Kurdish population. *Clin Genet* 2004; 65(6): 506-8.
- [24] Naghavi A, Nishimura C, Kahrizi K, Riazalhosseini Y, Bazazzadegan N, Mohseni M, Smith RJ, Najmabadi H. GJB2 mutations in Baluchi population. *J Genet* 2008; 87(2): 195-7.
- [25] Bonyadi M, Esmaeili M, Abhari M, Lotfi A. Mutation analysis of familial GJB2-related deafness in Iranian Azeri Turkish patients. *Genet Test Mol Biomarkers* 2009; 13(5): 689-92.
- [26] Sadeghi A, Sanati MH, Alasti F, Hashemzadeh Chaleshtori M, Mahmoudian S, Ataei M. Contribution of GJB2 mutations and Four common DFNB loci in autosomal recessive non-syndromic hearing impairment in Markazi and Qom provinces of Iran. *Iranian J Biotechnolo* 2009; 7(2): 108-11. (Persian)
- [27] Hashemzadeh Chaleshtori M, Farhud DD, Patton MA. Familial and Sporadic GJB2-Related Deafness in Iran: Review of Gene Mutations. *Iranian J Publ Health* 2007; 36(1): 1-14. (Persian)
- [28] Hosseinipour A, Hashemzadeh Chaleshtori M, Sasanfar R, Farhud DD, Tolooi A, Doulati M, Hoghooghi Rad L, Montazer zohour M, Ghadami M. Report of a New Mutation and Frequency of Connexin 26 gene (GJB2) Mutations in Patients from Three Provinces of Iran. *Iranian J Publ Health* 2005; 34(1): 47-50. (Persian)

- [29] Najmabadi H, Cucci RA, Sahebjam S, Kouchakian N, Farhadi M, Kahrizi K, Arzhangi S, Daneshmandan N, Javan K, Smith RJ. GJB2 Mutations in Iranians with Autosomal Recessive Non-syndromic Sensorineural Hearing Loss. *J Hum Mutat* 2002; 19(5): 572. (Persian)
- [30] Hashemzadeh Chaleshtori M, Farhud DD, Taylor R, Hadavi V, Patton MA, Afzal AR. Deafness-Associated Connexin 26 gene (GJB2) Mutations in Iranian Population. *Iranian J Publ Health* 2002; 31(3-4); 75-9. (Persian)
- [31] Hashemzadeh Chaleshtori M, Hoghooghi Rad L, Dolati M, Sasanfar R, Hoseinipour A, Montazer Zohour M, Pourjafari H, Tolooi A, Ghadami M, Farhud DD, Patton MA. Frequencies of mutations in the Connexin 26 Gene (GJB2) in two Populations of Iran (Tehran and Tabriz). *Iranian J Publ Health* 2005; 34(1): 1-7. (Persian)
- [32] Uyguner O, Emiroglu M, Uzumcu A, Hafiz G, Ghanbari A, Baserer N, Yuksel-Apak M, Wollnik B. Frequencies of gap- and tight-junction mutations in Turkish families with autosomal-recessive non-syndromic hearing loss. *Clin Genet* 2003; 64(1): 65-9.
- [33] Santos RL, Wajid M, Pham TL, Hussan J, Ali G, Ahmad W, Leal SM. Low prevalence of Connexin 26 (GJB2) variants in Pakistani families with autosomal recessive non-syndromic hearing impairment. *Clin Genet* 2005; 67(1): 61-8.